

УДК 536.517

## **Устойчивость осесимметричных закрученных течений вязкой несжимаемой жидкости\***

**С.П. Актёршев, П.А. Куйбин**

*Институт теплофизики им. С.С. Кутателадзе СО РАН, Новосибирск*

E-mail: sergey-aktershev@mail.ru

Разработан новый метод решения задачи устойчивости закрученного течения вязкой несжимаемой жидкости. Метод, основанный на разложении искомых функций в ряд по степеням радиальной координаты, позволяет избежать трудностей, связанных с численным интегрированием системы дифференциальных уравнений с особой точкой. В качестве примера рассмотрена устойчивость течения Пуазейля во вращающейся трубе.

**Ключевые слова:** несжимаемая жидкость, осесимметричное закрученное течение, устойчивость, метод решения.

### **Введение**

Закрученные потоки широко применяются в технике. Так, в высоконапорных гидротурбинах закрутка потока используется для создания крутящего момента на рабочем колесе и в оптимальном режиме на выходе из рабочего колеса закрутка потока практически отсутствует. В режимах же частичной или форсированной нагрузки значительный уровень закрутки остается в следе за рабочим колесом. Проблемы, возникающие в этом случае, являются общими для различных вихревых аппаратов, применяемых для интенсификации тепломассопереноса или химических реакций, в биореакторах и сепараторах, в вихревых горелках и т.п. С целью интенсификации процессов вихревые аппараты эксплуатируются в условиях высокой степени закрутки потока. В результате, как правило, развиваются неустойчивости, течение становится трехмерным и нестационарным. В частности, могут возникать регулярные пульсации давления на частотах, близких к собственным механическим или акустическим частотам устройств и аппаратов.

Для изучения течений в технологических аппаратах все шире применяются методы вычислительной гидродинамики. Тем не менее, для адекватного описания крайне актуально получение априорной информации о возможных неустойчивостях течения. В то же время их анализ позволяет без проведения дорогостоящих и длительных расчетов предсказать диапазоны наиболее неустойчивых частот (длин волн), а также зоны режимных характеристик, в которых течение неустойчиво. При линейном анализе неустойчивости закрученных течений уравнения Навье–Стокса линеаризуют и рассматривают экспоненциально растущие (убывающие) возмущения в пространственной или временной постановке.

---

\* Работа выполнена при частичной финансовой поддержке РФФИ (грант 10-08-01096-а) и Министерства образования и науки РФ в рамках реализации ФЦП «Исследования и разработки по приоритетным направлениям развития научно-технологического комплекса России на 2007–2013 годы» (ГК № 11.519.11.6022).

Задача сводится к поиску собственных частот (длин волн) и соответствующих собственных функций различных мод колебаний. Кроме стандартных трудностей решения задач гидродинамической неустойчивости, связанных с наличием малого коэффициента при старшей производной (при больших числах Рейнольдса) и возможностью бифуркаций, в случае закрученного потока возникает дополнительная сложность, заключающаяся в наличии особой точки на оси течения (а в случае с безграничным течением еще одной особой точки — на бесконечном удалении от оси). Вблизи особых точек собственные функции различных мод оказываются близкими друг к другу и при численном интегрировании возможно «перепрыгивание» с одной моды на другую. Для обхода этих препятствий вблизи особых точек строятся асимптотические решения по методу Фробениуса (см., например, [1]), что позволяет перенести граничные условия в некоторые регулярные точки, и дополнительно применяется процедура ортогонализации для разделения линейно независимых решений.

Настоящая работа посвящена построению нового метода решения задачи устойчивости закрученного течения вязкой несжимаемой жидкости, основанного на разложении искомых функций в ряд по степеням радиальной координаты. Этот метод позволяет избежать трудностей, связанных с численным интегрированием системы дифференциальных уравнений с особой точкой.

### Линейный анализ устойчивости ограниченного течения

Для осесимметричного закрученного течения несжимаемой жидкости в трубе компоненты вектора скорости в цилиндрических координатах будут:  $V_z = U(r)$ ,  $V_r = 0$ ,  $V_\varphi = W(r)$ . Возьмем в качестве линейного масштаба радиус трубы  $R$ , масштаба скорости — скорость на оси трубы  $U_0$ , масштаба времени —  $R/U_0$  и перейдем к безразмерным переменным, сохраняя для всех физических величин традиционные буквенные обозначения. Рассмотрим малые возмущения компонент скорости и давления в виде бегущей волны

$$\{\bar{V}_z, \bar{V}_r, \bar{V}_\varphi, \bar{P}\} = \{F, iS, H, P\} \exp(i(\alpha z + n\varphi - \alpha ct)). \quad (1)$$

Выражение (1) описывает периодические по координатам  $z$  и  $\varphi$  возмущения, растущие или затухающие во времени. Здесь  $i$  — мнимая единица,  $\alpha$  — вещественное волновое число,  $n$  — азимутальное волновое число ( $n = 0, \pm 1, \pm 2, \dots$ ),  $c = c_r + ic_i$  — комплексная скорость распространения возмущения,  $F(r)$ ,  $S(r)$ ,  $H(r)$ ,  $P(r)$  — комплексные амплитудные функции. Положительные значения  $n$  соответствуют распространению волны в направлении закрутки, отрицательные — в противоположном направлении. Величина  $\alpha c_i$  дает временной инкремент,  $\alpha c_r$  — частоту колебаний. Положительные значения инкремента соответствуют растущим возмущениям.

Подстановка (1) в линеаризованные уравнения Навье–Стокса и уравнение неразрывности приводит к системе дифференциальных уравнений [1]:

$$\frac{1}{i \operatorname{Re}} (r(rS') - (n^2 + 1)S - 2nH) = r^2 (\gamma + \alpha^2 / i \operatorname{Re}) S + 2rHW - r^2 P', \quad (2)$$

$$\frac{1}{i \operatorname{Re}} (r(rH') - (n^2 + 1)H - 2nS) = (\gamma + \alpha^2 / i \operatorname{Re}) r^2 H + (W' + W/r)r^2 S + rnP, \quad (3)$$

$$\frac{1}{i \operatorname{Re}} (r(rF') - n^2 F) = (\gamma + \alpha^2 / i \operatorname{Re}) r^2 F + \alpha r^2 P + r^2 SU', \quad (4)$$

$$\alpha r F + (rS)' + nH = 0. \quad (5)$$

Здесь штрих означает производную по  $r$ ,  $Re = U_0 R / \nu$  — число Рейнольдса,  $\gamma = \alpha(U - c) + nW/r$ . Граничные условия таковы. На оси трубы: при  $n = 0$   $F(0)$  и  $P(0)$  ограничены,  $S(0) = H(0) = 0$ ; при  $n = \pm 1$   $F(0) = P(0) = 0$ ,  $S(0) \pm H(0) = 0$ ; при  $|n| > 1$   $F(0) = P(0) = S(0) = H(0) = 0$ . На стенке:  $S(1) = H(1) = F(1) = 0$ .

Решение уравнений (2)–(5) с указанными граничными условиями существует только для определенных значений комплексной скорости (задача на собственные значения).

Перейдем к переменным  $\psi = (S + H)/2$  и  $\theta = (S - H)/2$ . В новых переменных система (2)–(5) примет вид

$$\frac{1}{iRe} \left( r(r\psi)' - (n+1)^2 \psi \right) = \left( \gamma + \frac{\alpha^2}{iRe} + \beta_1 \right) r^2 \psi + \beta_2 r^2 \theta + \frac{1}{2} (rnP - r^2 P'), \quad (6)$$

$$\frac{1}{iRe} \left( r(r\theta)' - (n-1)^2 \theta \right) = \left( \gamma + \frac{\alpha^2}{iRe} - \beta_1 \right) r^2 \theta - \beta_2 r^2 \psi - \frac{1}{2} (rnP + r^2 P'), \quad (7)$$

$$\frac{1}{iRe} \left( r(rF)' - n^2 F \right) = \left( \gamma + \frac{\alpha^2}{iRe} \right) r^2 F + \alpha r^2 P + r^2 U' (\psi + \theta), \quad (8)$$

$$r\theta' + r\psi' + (n+1)\psi - (n-1)\theta = -\alpha r F. \quad (9)$$

Здесь введены обозначения  $\beta_1(r) = 0,5(W' + 3W/r)$ ,  $\beta_2(r) = 0,5(W' - W/r)$ . Граничные условия для  $\psi$  и  $\theta$  таковы. На оси трубы: при  $n = 0$   $\psi(0) = \theta(0) = 0$ ; при  $n = 1$   $\psi(0) = 0$ ,  $\theta(0) = S(0)$ ; при  $n = -1$   $\psi(0) = S(0)$ ,  $\theta(0) = 0$ ; при  $|n| > 1$   $\psi(0) = \theta(0) = 0$ . На стенке:  $\psi(1) = \theta(1) = F(1) = 0$ . Отметим, что в отличие от уравнений (2)–(5), система (6)–(9) обладает свойством симметрии, в частности, система уравнений инвариантна относительно замены  $n \rightarrow -n$ ,  $\psi \rightarrow \theta$ ,  $\theta \rightarrow \psi$ ,  $\beta_1 \rightarrow -\beta_1$ ,  $\beta_2 \rightarrow -\beta_2$ .

### Устойчивость течения Пуазейля во вращающейся трубе

В качестве примера рассмотрим течение во вращающейся трубе с распределением осевой скорости в виде профиля Пуазейля  $U = 1 - r^2$  и азимутальной скоростью, распределенной по закону твердотельного вращения  $W = qr$ . Здесь  $q = \Omega R / U_0$  — параметр закрутки,  $\Omega$  — угловая скорость вращения трубы.

Известно, что рассматриваемое закрученное течение в отличие от классического течения Пуазейля является неустойчивым по отношению к неосесимметричным возмущениям. Впервые этот факт был обнаружен в работах [2, 3] асимптотическими методами, позднее это было подтверждено численными методами [4–6]. В зависимости от определяющих параметров задачи (числа Рейнольдса и параметра закрутки) в потоке может одновременно наблюдаться несколько мод неустойчивости. Так же как и для течений типа свободного вихря, наиболее нарастающей оказалась мода  $n = -1$ . В работе [5] построены кривые нейтральной устойчивости, определены критические значения чисел Рейнольдса и параметра закрутки, проведено сравнение с экспериментами. Детальное исследование данной проблемы проведено в работе [1] исходя из численного интегрирования уравнений (2)–(5). Расчет [1] состоял из нескольких этапов. Вблизи особой точки  $r = 0$  строились асимптотические решения по методу Фробениуса, что позволяло перенести граничные условия в точку  $r = r_a > 0$ . На интервале  $r_a \leq r \leq 1$  решения продолжались численным интегрированием. Подбором собственных значений  $c_r$ ,  $c_i$  посредством итерационной процедуры добивалось выполнение граничных условий  $S(1) = H(1) = F(1) = 0$ . Система (2)–(5) представлялась в виде шести дифференциальных уравнений первого

порядка и численно интегрировалась методом Кутта–Мерсона. Принципиальная трудность в реализации этого метода заключается в быстром (паразитическом) росте одного или нескольких решений при численном интегрировании, в результате чего теряется их линейная независимость. Для обхода этих трудностей на каждом шаге интегрирования применялась процедура ортогонализации линейно независимых решений.

### Решение задачи методом разложения в степенной ряд

Рассмотрим метод решения системы уравнений (6)–(9), не использующий численное интегрирование и позволяющий избежать связанных с этим трудностей. Для течения Пуазейля во вращающейся трубе  $\gamma = \alpha(1-c) + nq - \alpha r^2$ ,  $\beta_1(r) = 2q$ ,  $\beta_2(r) = 0$ , поэтому выражения в первых скобках в правой части уравнений (6) и (7) можно записать в виде

$$(\gamma + \alpha^2 / i \operatorname{Re} + \beta_1) = \alpha(1-c) + nq + \alpha^2 / i \operatorname{Re} - \alpha r^2 + 2q,$$

$$(\gamma + \alpha^2 / i \operatorname{Re} - \beta_1) = \alpha(1-c) + nq + \alpha^2 / i \operatorname{Re} - \alpha r^2 - 2q.$$

Введем замены:  $\psi = i \operatorname{Re} \tilde{\psi}$ ,  $\theta = i \operatorname{Re} \tilde{\theta}$ ,  $F = i \operatorname{Re}^2 \tilde{F}$ ,  $\alpha = \tilde{\alpha} / \operatorname{Re}$ ,  $q = \tilde{q} / \operatorname{Re}$ . Такое масштабирование вызвано необходимостью рассматривать большие значения числа Рейнольдса. Известно, что при  $\operatorname{Re} \rightarrow \infty$  волновое число растущих возмущений порядка  $1/\operatorname{Re}$ , поэтому  $\tilde{\alpha} \sim 1$ . Для переменных с тильдой уравнения (6)–(9) принимают вид

$$r(r\tilde{\psi}') - (n+1)^2 \tilde{\psi} = (b + 2i\tilde{q} - i\tilde{\alpha}r^2)r^2 \tilde{\psi} + (rnP - r^2P')/2, \quad (10)$$

$$r(r\tilde{\theta}') - (n-1)^2 \tilde{\theta} = (b - 2i\tilde{q} - i\tilde{\alpha}r^2)r^2 \tilde{\theta} - (rnP + r^2P')/2, \quad (11)$$

$$r(r\tilde{F}') - n^2 \tilde{F} = (b - i\tilde{\alpha}r^2)r^2 \tilde{F} + r^2P\tilde{\alpha} / \operatorname{Re}^2 - 2ir^3(\tilde{\psi} + \tilde{\theta}), \quad (12)$$

$$r\tilde{\theta}' + r\tilde{\psi}' + (n+1)\tilde{\psi} - (n-1)\tilde{\theta} = -\tilde{\alpha}r\tilde{F}. \quad (13)$$

Здесь введено обозначение:  $b = i(\tilde{\alpha} + n\tilde{q} - \tilde{\alpha}c_r) + \tilde{\alpha}c_i + \tilde{\alpha}^2 / \operatorname{Re}^2$ .

Разложим искомые функции  $\tilde{\psi}(r)$ ,  $\tilde{\theta}(r)$ ,  $\tilde{F}(r)$ ,  $P(r)$  в ряд по степеням переменной  $r$ , представив их в виде:

$$\tilde{\psi} = \psi_0 r^k + \psi_1 r^{k+2} + \psi_2 r^{k+4} + \dots + \psi_m r^{k+2m}, \quad \tilde{\theta} = \theta_0 r^k + \theta_1 r^{k+2} + \theta_2 r^{k+4} + \dots + \theta_m r^{k+2m}, \quad (14)$$

$$\tilde{F} = f_1 r^{k+1} + f_2 r^{k+3} + \dots + f_m r^{k+2m-1}, \quad P = p_1 r^{k+1} + p_2 r^{k+3} + \dots + p_m r^{k+2m-1}. \quad (15)$$

Для функций  $\tilde{\psi}$  и  $\tilde{\theta}$  ряд начинается со степени  $k = |n| - 1$ , а для функций  $\tilde{F}$  и  $P$  степень на единицу больше. При  $k = 0$  коэффициенты  $\psi_0$  и  $\theta_0$  дают значениям  $\psi(0)$  и  $\theta(0)$ , а при  $|n| > 1$  выполняются граничные условия  $F(0) = P(0) = \psi(0) = \theta(0) = 0$ . В дальнейшем будем рассматривать только отрицательные моды ( $n < 0$ ), поскольку только они дают неустойчивость. Подставляя ряды (14), (15) в уравнения (10)–(13) и приравнивая коэффициенты перед одинаковыми степенями  $r$  в обеих частях, получаем для коэффициентов ряда рекуррентные соотношения:

$$\left( (k+2m)^2 - k^2 \right) \psi_m = (b + 2i\tilde{q})\psi_{m-1} - i\tilde{\alpha}\psi_{m-2} - p_m(k+m), \quad (16)$$

$$\left( (k+2m)^2 - (k+2)^2 \right) \theta_m = (b - 2i\tilde{q})\theta_{m-1} - i\tilde{\alpha}\theta_{m-2} - p_m(m-1), \quad (17)$$

$$\left( (k+2m-1)^2 - (k+1)^2 \right) f_m = bf_{m-1} - i\tilde{\alpha}f_{m-2} + p_{m-1}\tilde{\alpha} / \operatorname{Re}^2 - 2i(\psi_{m-2} + \theta_{m-2}), \quad (18)$$

$$2(m+k+1)\theta_m + 2m\psi_m = -\tilde{\alpha}f_m. \quad (19)$$

Эти соотношения, выполняющиеся при  $m = 0, 1, 2, \dots$ , позволяют выразить коэффициенты рядов с номером  $m$  через предыдущие коэффициенты с номерами  $m-1$  и  $m-2$ . Если будут известны «стартовые» коэффициенты с номерами 0 и 1, то остальные вычисляются из рекуррентных соотношений, тем самым будут найдены все искомые функции. Соотношения (16)–(19) нетрудно разрешить относительно  $\psi_m, \theta_m, p_m, f_m$ . После некоторых преобразований получаем

$$f_m = \frac{bf_{m-1} - i\tilde{\alpha}f_{m-2} + p_{m-1}\tilde{\alpha}/\text{Re}^2 - 2i(\psi_{m-2} + \theta_{m-2})}{4(m+k)(m-1)}, \quad (20)$$

$$p_m = \frac{4i\tilde{q}E_{m-1} - 2i\tilde{\alpha}(m\psi_{m-2} + (m+k+1)\theta_{m-2} + \tilde{\alpha}f_{m-2}/2) + p_{m-1}\tilde{\alpha}^2/\text{Re}^2}{4(m+k)(m-1)}, \quad (21)$$

$$\theta_m = -\frac{E_m + \tilde{\alpha}f_m/2}{2(m+k+1)}, \quad \psi_m = \frac{E_m - \tilde{\alpha}f_m/2}{2m}, \quad (22)$$

$$E_m = \frac{bE_{m-1} - i\tilde{\alpha}(\tilde{q}f_{m-1} + (m-1)\psi_{m-2} - (m+k)\theta_{m-2})}{4(k+m)(m-1)}. \quad (23)$$

Здесь введено обозначение  $E_m = m\psi_m - (m+k+1)\theta_m$ .

Из (20)–(22) следует, что  $\theta_0 = 0$ , а коэффициенты  $p_1, f_1, \psi_0$  не определены. Таким образом,  $p_1, f_1, \psi_0$  являются «стартовыми» коэффициентами, из которых вычисляются все остальные. В частности, для коэффициентов с номером 1 из соотношения (16) находим  $\psi_1 = \frac{1}{4}\left(\frac{b+2i\tilde{q}}{k+1}\psi_0 - p_1\right)$ , из (19) находим  $\theta_1 = -\frac{\psi_1 + \tilde{\alpha}f_1/2}{k+2} = \frac{1}{4(k+2)}\left(p_1 - \frac{b+2i\tilde{q}}{k+1}\psi_0 - 2\tilde{\alpha}f_1\right)$ . Отсюда  $E_1 = \psi_1 - (k+2)\theta_1 = \frac{1}{2}\left(\frac{b+2i\tilde{q}}{k+1}\psi_0 + \tilde{\alpha}f_1 - p_1\right)$ .

Значения «стартовых» коэффициентов вычисляются из граничных условий на стенке. Зададим достаточно большое число членов ряда  $N$ . Подставляя  $r = 1$  в (14), (15), получаем

$$\tilde{\theta}(1) = \theta_0 + \theta_1 + \theta_2 + \dots + \theta_N, \quad \tilde{F}(1) = f_1 + f_2 + \dots + f_N.$$

Отсюда следует, что  $\tilde{F}(1)$  и  $\tilde{\theta}(1)$  определяются «стартовыми» коэффициентами. Поскольку рекуррентные соотношения линейны, значения  $\tilde{F}(1)$  и  $\tilde{\theta}(1)$  являются линейными функциями «стартовых» коэффициентов, т. е. их можно представить в виде

$$\tilde{F}(1) = A_1p_1 + B_1f_1 + D_1\psi_0, \quad \tilde{\theta}(1) = A_2p_1 + B_2f_1 + D_2\psi_0.$$

Неизвестные константы  $A_1, A_2, B_1, B_2, D_1, D_2$  найдем следующим образом. Зададим  $(p_1, f_1, \psi_0) = (0, 0, 1)$  и по рекуррентным формулам вычислим остальные коэффициенты рядов (14), (15). Тем самым мы получим значения  $\tilde{F}(1)$  и  $\tilde{\theta}(1)$ , которые равны, соответственно,  $D_1$  и  $D_2$ . Если задать  $(p_1, f_1, \psi_0) = (1, 0, 0)$ , то вычисленные значения  $\tilde{F}(1)$  и  $\tilde{\theta}(1)$  равны  $A_1$  и  $A_2$ . При  $(p_1, f_1, \psi_0) = (0, 1, 0)$  значения  $\tilde{F}(1)$  и  $\tilde{\theta}(1)$  равны  $B_1$  и  $B_2$ .

Граничные условия  $\tilde{F}(1) = \tilde{\theta}(1) = 0$  приводят к системе линейных уравнений

$$A_1p_1 + B_1f_1 + D_1\psi_0 = 0, \quad A_2p_1 + B_2f_1 + D_2\psi_0 = 0. \quad (24)$$

Поскольку искомые функции  $\tilde{\psi}(r)$ ,  $\tilde{\theta}(r)$ ,  $\tilde{F}(r)$ ,  $P(r)$  определены с точностью до произвольного множителя, значение  $\psi_0$  можно положить произвольной константой. Таким образом, из (24) находим

$$p_1 = \psi_0 (D_2 B_1 - D_1 B_2) / (A_1 B_2 - A_2 B_1), \quad f_1 = \psi_0 (A_2 D_1 - A_1 D_2) / (A_1 B_2 - A_2 B_1).$$

Остается выполнить последнее граничное условие на стенке

$$\tilde{\psi}(1) = \psi_1 + \psi_2 + \dots + \psi_N = 0. \quad (25)$$

Условие (25) служит для вычисления собственного значения комплексной скорости, которая входит в уравнения (16)–(18) только через комплексную величину  $b = x + iy$ , где  $x = \tilde{\alpha}c_i + \tilde{\alpha}^2 / \text{Re}^2$  и  $y = \tilde{\alpha} + n\tilde{q} - \tilde{\alpha}c_r$ , вещественная и мнимая части  $b$ . Уравнение (25) равносильно двум уравнениям

$$G_R(x, y) = 0, \quad G_I(x, y) = 0, \quad (26)$$

где  $G_R$  и  $G_I$  — вещественная и мнимая части  $\tilde{\psi}(1)$ .

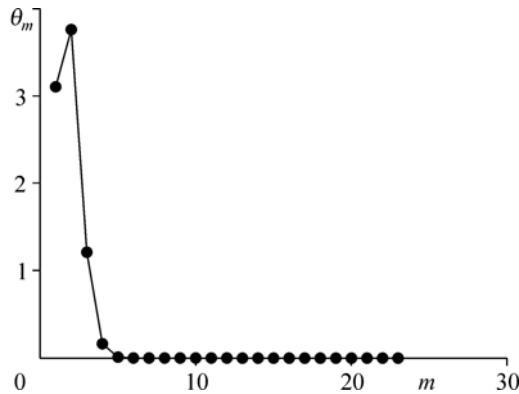
Система уравнений (26) решалась итерациями методом Ньютона–Рафсона. Пусть известно некоторое приближение  $(x_n, y_n)$  и, соответственно, значения  $G_R^n$ ,  $G_I^n$ . Разлагая  $G_R(x, y)$ ,  $G_I(x, y)$  в ряд Тейлора в окрестности точки  $(x_n, y_n)$  с точностью до линейных членов, запишем

$$\begin{aligned} G_R^n + \frac{\partial G_R}{\partial x}(x_{n+1} - x_n) + \frac{\partial G_R}{\partial y}(y_{n+1} - y_n) &= 0, \\ G_I^n + \frac{\partial G_I}{\partial x}(x_{n+1} - x_n) + \frac{\partial G_I}{\partial y}(y_{n+1} - y_n) &= 0. \end{aligned} \quad (27)$$

Отсюда получаем следующее приближение  $x_{n+1}$ ,  $y_{n+1}$ . Частные производные в (27) заменялись конечными разностями с помощью заданных малых приращений  $\Delta x$ ,  $\Delta y$ , и вычисленных приращений  $\Delta G_R$ ,  $\Delta G_I$ . Итерации прекращались после достижения условий  $|x_{n+1} - x_n| < \varepsilon$ ,  $|y_{n+1} - y_n| < \varepsilon$ , где  $\varepsilon = 10^{-8}$ .

### Результаты расчетов

Тестовые расчеты показали, что 35–40 членов ряда Тейлора вполне достаточно для аппроксимации искомых функций. Увеличение количества членов ряда до  $N = 75$  приводит



к изменению вычисленных значений фазовой скорости только в шестом десятичном знаке. На рис. 1 показана зависимость модуля коэффициента ряда Тейлора  $\theta_m$  от номера  $m$ . Наибольший вклад в сумму ряда дают члены с номером  $m < 6$ , а коэффициенты с номерами  $m > 45$  более чем на сто порядков меньше.

Рис. 1. Зависимость модуля коэффициента ряда  $\theta_m$  от номера  $m$ .

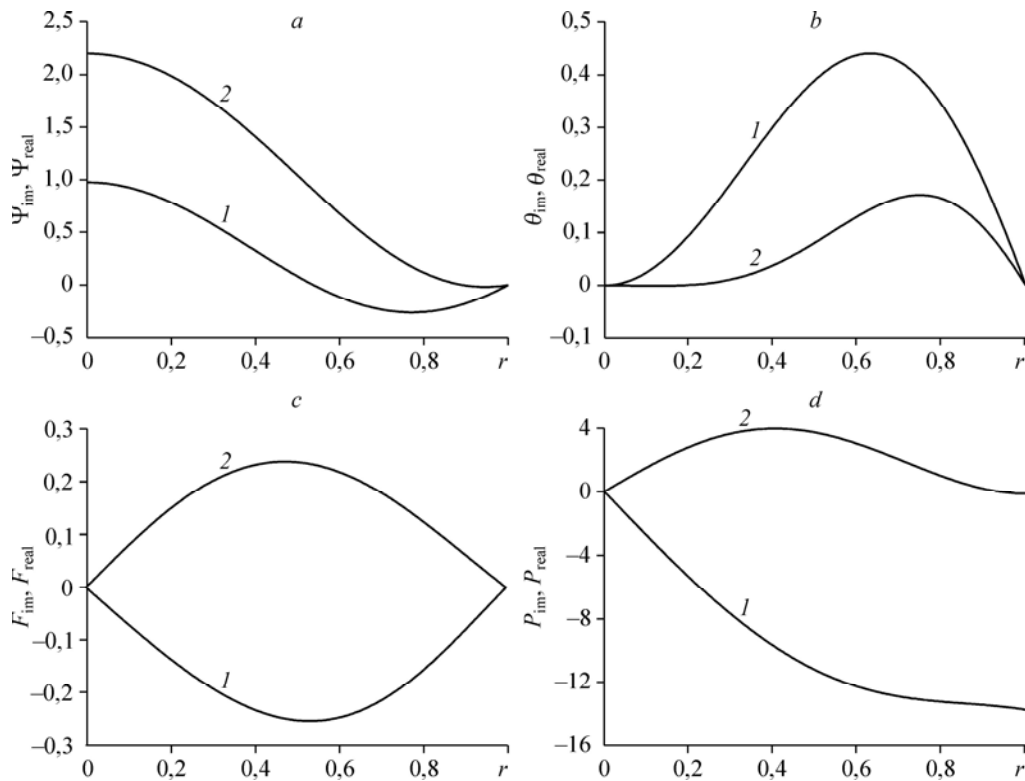


Рис. 2. Вещественные и мнимые части амплитудных функций  $\tilde{\psi}(r)$ ,  $\tilde{\theta}(r)$ ,  $\tilde{F}(r)$ ,  $P(r)$  при  $Re = 200$ ,  $\alpha = 0,007$ ,  $q = 0,4$ .

*a:* 1 —  $\psi_{\text{real}}$ , 2 —  $\psi_{\text{im}} \times 10$ , *b:* 1 —  $\theta_{\text{real}}$ , 2 —  $\theta_{\text{im}} \times 10$ , *c:* 1 —  $F_{\text{real}}$ , 2 —  $F_{\text{im}} \times 20$ , *d:* 1 —  $P_{\text{real}}$ , 2 —  $P_{\text{im}} \times 0,1$ .

На рис. 2–5 приведены результаты расчетов для моды  $n = -1$ . На рис. 2 показаны зависимости  $\tilde{\psi}(r)$ ,  $\tilde{\theta}(r)$ ,  $\tilde{F}(r)$ ,  $P(r)$ , рассчитанные для  $Re = 200$ ,  $\alpha = 0,007$ ,  $q = 0,4$ . Рисунок 3 иллюстрирует зависимости инкремента и частоты колебаний от волнового числа при  $Re = 200$  для различных значений параметра закрутки  $q$ . При  $q < 0,1$  для любых значений волнового числа инкремент отрицательный; при увеличении параметра закрутки появляется диапазон волнового числа, в котором инкремент положительный (область неустойчивости). По мере роста  $q$  область неустойчивости расширяется, а максимальное значение инкремента растет. При  $q > 1$  максимум инкремента увеличивается незначительно, а область неустойчивости существенно сужается и при  $q = 2$  наблюдается только в диапазоне  $0,03 < \alpha < 0,5$ . Длина волны максимально нарастающих колебаний значительно увеличивается. Фазовая скорость волн максимального роста при малых  $q$  положительная, но очень мала, а при  $q > 1$  фазовая скорость растущих возмущений отрицательная. Кривые нейтральной устойчивости для различных значений параметра закрутки представлены на рис. 4 в координатах  $(\alpha, Re)$ . Для любого фиксированного значения  $q$  область неустойчивости существует при  $Re > Re_{\text{cr}}$ . При малых  $q$  значение  $Re_{\text{cr}}$  велико и монотонно уменьшается с ростом параметра закрутки ( $Re_{\text{cr}} \approx 27/q$ ). В диапазоне  $1 < q < 10$  критическое число Рейнольдса меняется слабо —  $Re_{\text{cr}} \approx 83 \div 85$ . В пределе  $q \rightarrow \infty$  расчетное значение критического числа Рейнольдса составляет 82,9201, что полностью соответствует полученному ранее в работах [1, 5, 6] значению  $Re_{\text{cr}} = 82,92$ . Расчетная граница области устойчивости показана на рис. 5 (область неустойчивости

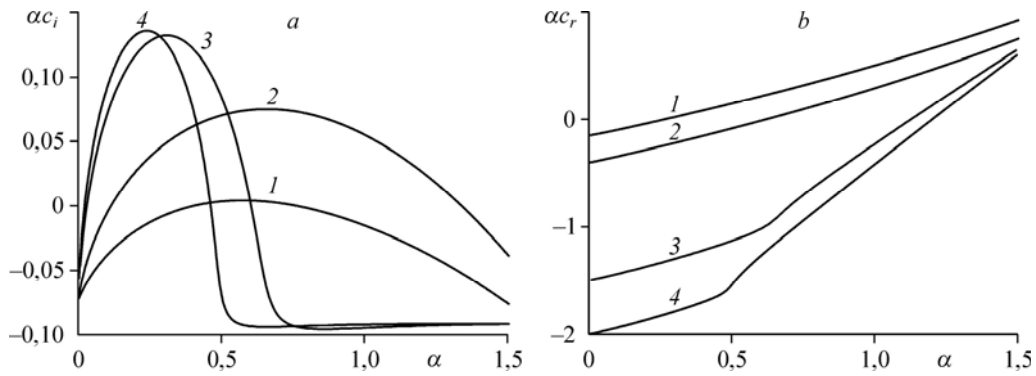


Рис. 3. Зависимости инкремента (а) и частоты колебаний (b) от волнового числа при  $Re = 200$  для различных значений параметра закрутки  $q$ .  
 1 — 0,15, 2 — 0,4, 3 — 1,5, 4 — 2.

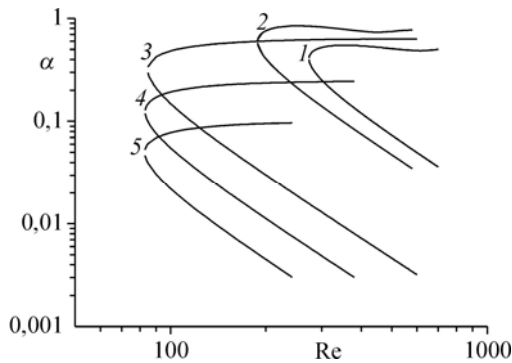


Рис. 4. Нейтральные кривые для различных значений параметра закрутки  $q$ .  
 1 — 0,1, 2 — 0,15, 3 — 1,5, 4 — 4, 5 — 10.

лежит выше кривой). В таблице приведены расчетные значения  $Re_{cr}$  при различных значениях  $q$  и соответствующие им волновые числа в сравнении с расчетами [1].

Как видим, новый метод дает хорошее совпадение с результатами расчета [1], полученными численным интегрированием уравнений (2)–(5).

Отметим, что примененный метод разложения искомых функций в ряд пригоден не только для течения Пуазейля во вращающейся трубе, но и для других течений с закруткой, например, для вихря Бэтчелора с профилями осевой и азимутальной скорости  $U = \exp(-\alpha r^2)$ ,  $W = \frac{q}{r}(1 - \exp(-\alpha r^2))$ . Здесь параметр  $\alpha$  определяет размер вихря. Если разложить экспоненту в ряд, то компоненты скорости представляются в виде степенного ряда по переменной  $r$ :

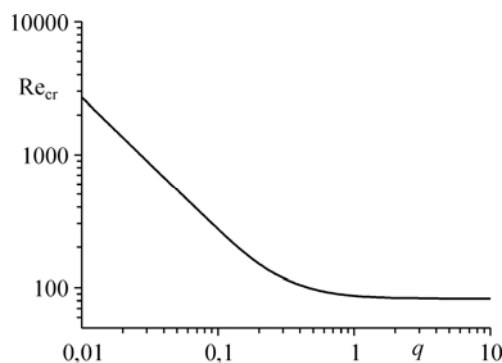
$$U = 1 - \alpha r^2 + \frac{\alpha^2 r^4}{2} + \dots,$$

$$W = q \left( \alpha r - \frac{\alpha^2 r^3}{2} + \frac{\alpha^3 r^5}{6} + \dots \right). \tag{28}$$

Таблица

$q$		0,01	0,02	0,06	0,1	0,2	0,6	1	10
$Re_{cr}$	настоящая работа	2696,47	1348,74	451,15	273,54	150,16	93,442	86,925	82,93
	данные работы [1]	2696,06	1347,82	450,97	273,57	150,14	93,44	86,92	82,92
$\alpha$	настоящая работа	0,0396	0,079	0,241	0,405	0,716	0,635	0,448	0,049
	данные работы [1]	0,04	0,079	0,241	0,404	0,716	0,634	0,447	0,05

Рис. 5. Граница области неустойчивости.



Так же, как и в случае течения Пуазейля, для осевой скорости присутствуют только четные, а для азимутальной скорости — только нечетные степени  $r$ . Подставляя (28) в уравнения (6)–(9), снова приходим к разложениям искомым функций в ряд по степеням  $r$ . Рекуррентные соотношения для коэффициентов ряда будут в этом случае более громоздкими (каждый коэффициент выражается через все предыдущие коэффициенты), но ход решения будет тот же самый.

Разработанный метод применим к течениям, для которых осевую и азимутальную скорости можно разложить в ряд по четным (нечетным) степеням радиальной координаты.

### Выводы

Разработан новый метод решения задачи устойчивости закрученного течения вязкой несжимаемой жидкости в цилиндрическом канале. Метод основан на разложении искомым функций в ряд по степеням радиальной координаты. Алгоритм решения сводится к итерационной процедуре, в которой коэффициенты ряда вычисляются из системы линейных алгебраических уравнений. Тем самым в задаче на собственные значения удается избежать трудностей, связанных с численным интегрированием системы дифференциальных уравнений с особой точкой. В качестве примера рассмотрена устойчивость течения Пуазейля во вращающейся трубе. Новый метод дает хорошее совпадение с расчетами на основе численного интегрирования дифференциальных уравнений.

### Список обозначений

$c = c_r + ic_i$ — комплексная скорость распространения возмущений,	$P$ — амплитуда возмущения давления,
$F$ — амплитуда возмущения аксиальной компоненты скорости,	$q = \Omega R/U_0$ — параметр закрутки,
$H$ — амплитуда возмущения азимутальной компоненты скорости,	$R$ — радиус трубы,
$n$ — азимутальное волновое число (целое),	$U$ — аксиальная скорость,
$iS$ — амплитуда возмущения радиальной компоненты скорости,	$W$ — азимутальная скорость,
	$r, z, \varphi$ — цилиндрические координаты,
	$\Omega$ — угловая скорость вращения трубы.

### Греческие символы

$\alpha$ — вещественное волновое число,	$\beta_1 = 0,5(W' + 3W/r), \beta_2 = 0,5(W' - W/r).$
$\psi = (S + H)/2, \theta = (S - H)/2,$	

### Безразмерные комплексы

$Re = U_0 R/\nu$  — число Рейнольдса.

### Индексы

$m$  — номер коэффициента ряда.

### Список литературы

1. **Ахметов В.К., Шкадов В.Я.** Численное моделирование вязких вихревых течений для технических приложений. М.: Издательство Ассоциации строительных вузов, 2009. 176 с.
2. **Pedley T.J.** On the instability of rapidly rotating shear flows to nonaxisymmetric disturbances // J. Fluid Mech. 1968. Vol. 31. P. 603–607.
3. **Pedley T.J.** On the instability of viscous flow in a rapidly rotating pipe // J. Fluid Mech. 1969. Vol. 35. P. 97–115.
4. **Maslowe S.A.** Instability of rigidly rotating flows to non-axisymmetric disturbances // J. Fluid Mech. 1974. Vol. 64. P. 307–317.
5. **Mackrodt P.A.** Stability of Hagen-Poiseuille flow with superimposed rigid rotation // J. Fluid Mech. 1976. Vol. 73, No. 1. P. 153–164.
6. **Fernandez-Feria R., Pino C.** The onset of absolute instability of rotating Hagen-Poiseuille flow: A spatial stability analysis // Phys. Fluids. 2002. Vol. 14. P. 3087–3097.

*Статья поступила в редакцию 3 июля 2012 г.,  
после доработки — 3 октября 2012 г.*